

**Квантовая электродинамика с пустым
фермионным вакуумом.
Возможности экспериментальной верификации.**

В.П.Незнамов

*Семинар ОФВЭ
10 октября 2023г.*

В стандартной КЭД для описания фермионных состояний используется уравнение Дирака с биспинорной волновой функцией. Уравнение Дирака имеет решения с положительными и отрицательными энергиями. Физический вакуум уравнения Дирака описывается на языке полностью заполненных состояний с отрицательными энергиями (море Дирака). Дырки в море Дирака интерпретируются как наличие античастиц. В теории позитронов Штукельберга-Фейнмана позитроны представляют собой электроны с отрицательными энергиями, движущиеся в обратном направлении в пространстве-времени. Фермионный вакуум КЭД непустой, в нем теоретически допускается виртуальное рождение и аннигиляция частиц и античастиц.

Движение фермионов в квантовой теории можно описывать уравнениями со спинорными волновыми функциями. Ранее нами рассмотрены две возможности: представление Фолди-Ваутхайзена (FW) и представление с уравнением для фермионов типа Клейна-Гордона (KG). Для этих представлений развиты формализмы $(\text{КЭД})_{\text{FW}}$, $(\text{КЭД})_{\text{KG}}$ и рассчитаны некоторые физические эффекты.

В низшем порядке теории возмущений вычислены сечения кулоновского рассеяния электрона, рассеяния электрона на протоне, комптон-эффекта, аннигиляции электрон-позитронной пары. Вычислены собственная энергия электрона, собственная энергия фотона, аномальный магнитный момент электрона, лэмбовский сдвиг атомных энергетических уровней. Конечные результаты полностью совпадают с соответствующими результатами в стандартной КЭД с уравнением Дирака.

Введение

В отличие от стандартной КЭД новым в $(КЭД)_{FW}$ и $(КЭД)_{KG}$ является следующее:

- ✓ При вычислениях физических эффектов достаточно использования решений с положительными энергиями фермионов. Это относится как к реальным, так и к виртуальным промежуточным фермионным состояниям.
- ✓ Используются два отдельных уравнения для электронов и позитронов. Эти уравнения отличаются друг от друга знаком электрического заряда и знаками перед слагаемыми с массами электрона и позитрона.
- ✓ По аналогии с вакуумом уравнения Шредингера фермионный вакуум является пустым. В этом случае становятся излишними существование моря решений с отрицательными энергиями (моря Дирака), процессы виртуального рождения и аннигиляции электрон-позитронных пар, концепция поляризации вакуума. В перспективе этот вывод может быть проверен экспериментально либо в случае успешной разработки оптических лазеров эксаваттной мощности, либо в экспериментах по столкновению тяжелых ионов с суммарным $Z > 170 \div 175$.

Цели настоящей работы:

С учетом версий $(\text{КЭД})_{\text{FW}}$ и $(\text{КЭД})_{\text{KG}}$ мы показываем неизбежность корректировки стандартной КЭД с уравнением Дирака и с биспинорной волновой функцией. В обновленной теории $(\text{КЭД})_{\text{DN}}$ при вычислении физических эффектов мы будем использовать только решения свободного уравнения Дирака с положительными энергиями. Это относится как к реальным, так и к виртуальным промежуточным фермионным состояниям. В $(\text{КЭД})_{\text{DN}}$ будут использоваться два отдельных уравнения Дирака для электронов и позитронов. Эти уравнения отличаются друг от друга знаком электрического заряда и знаками перед слагаемыми с массами электрона и позитрона.

О формализме КЭД

В стандартной КЭД для фермионов используется уравнение Дирака с биспинорной волновой функцией. Уравнение Дирака для электрона с массой m и электрическим зарядом $e < 0$, взаимодействующего с электромагнитным полем $A^\mu(\mathbf{r}, t)$, можно записать в виде

$$p^0 \psi_D = H_D \psi_D = (\boldsymbol{\alpha}(\mathbf{p} - e\mathbf{A}) + \beta m + eA^0) \psi_D,$$

где H_D - дираковский гамильтониан; $p^0 = i(\partial/\partial t)$, $\mathbf{p} = -i\vec{\nabla}$,

$A^0(\mathbf{r}, t)$, $A^l(\mathbf{r}, t)$ - электромагнитные потенциалы;

$\alpha^\mu = \begin{cases} 1 \\ \alpha^k \end{cases}$, α^k, β - четырехмерные матрицы Дирака, $k, l = 1, 2, 3$.

Биспинор $\psi_D(\mathbf{r}, t) = \begin{pmatrix} \varphi(\mathbf{r}, t) U_S \\ \chi(\mathbf{r}, t) U_S \end{pmatrix}$.

Здесь U_S - нормированные спиноры Паули $\left(\text{для } S_z = \frac{1}{2} \quad U_S = \begin{pmatrix} 1 \\ 0 \end{pmatrix}, \text{ для } S_z = -\frac{1}{2} \quad U_S = \begin{pmatrix} 0 \\ 1 \end{pmatrix} \right)$.

О формализме КЭД

В свободном случае (без взаимодействия) уравнение Дирака имеет следующие нормированные решения с положительными и отрицательными энергиями

$$(\psi_D)_0^{(+)}(\mathbf{r}, t) = \frac{1}{(2\pi)^{3/2}} \sqrt{\frac{E+m}{2E}} \begin{pmatrix} U_S \\ \frac{\boldsymbol{\sigma}\mathbf{p}}{E+m} U_S \end{pmatrix} e^{-iEt+i\mathbf{p}\mathbf{r}}, \quad (\psi_D)_0^{(-)}(\mathbf{r}, t) = \frac{1}{(2\pi)^{3/2}} \sqrt{\frac{E+m}{2E}} \begin{pmatrix} \frac{\boldsymbol{\sigma}\mathbf{p}}{E+m} U_S \\ U_S \end{pmatrix} e^{iEt-i\mathbf{p}\mathbf{r}}.$$

Здесь $E = \sqrt{m^2 + \mathbf{p}^2}$, σ^k - двумерные матрицы Паули.

Решения получены с использованием матриц α^k, β в представлении Дирака-Паули.

Аналогичные решения можно получить с матрицами Дирака в спинорном представлении, широко используемым в Стандартной модели. КЭД со спинорными уравнениями для фермионов и со спинорным представлением матриц Дирака представлена в [1] для (КЭД)_{FW} и в [2] для (КЭД)_{KG}. Конечные физические результаты в [1] и [2] совпадают с результатами стандартной КЭД и с результатами в [3] полученными с использованием матриц α^k, β в представлении Дирака-Паули.

[1] В. П. Незнамов, ЭЧАЯ 43, 70 (2012), *arxiv: 1107.0693 (physics. gen-ph)*, [2] L. S. Hostler, *J. Math. Phys.* 26, 1348 (1985).

[3] В. П. Незнамов, ЭЧАЯ 37, 152 (2006), *arxiv: hep-th/0411050*; V. P. Neznamov and V. E. Shemarulin, *Int. J. Mod. Phys. A* 36, 2150086 (2021).

КЭД в представлении Фолди-Ваутхайзена

В FW-представлении уравнение Дирака для электрона, взаимодействующего с электромагнитным полем $A^\mu(\mathbf{r}, t)$ можно получить в виде ряда по степеням электромагнитной константы связи, применяя серию унитарных преобразований $U_{FW} = (1 + e\delta_1 + e^2\delta_2 + e^3\delta_3 + \dots)U_0$.

Здесь $U_{FW}^+ = U_{FW}^{-1}$, $\psi_{FW} = U_{FW}\psi_D$.

В результате получаем уравнение

$$p^0\psi_{FW} = H_{FW}\psi_{FW} = \left(\beta E + eK_1^{FW} (+m, A^\mu) + e^2K_2^{FW} (+m, A^\mu, A^\nu) + e^3K_3^{FW} (+m, A^\mu, A^\nu, A^\gamma + \dots) \right) \psi_{FW}.$$

Здесь обозначение $+m$ указывает на использование положительного знака перед βm в уравнении Дирака. В уравнении отсутствуют слагаемые с отрицательными знаком перед массой m . Это следует из структуры выражений K_1^{FW} , K_2^{FW} ...

В свободном случае $p^0(\psi_{FW})_0 = \beta E(\psi_{FW})_0$, где для положительной энергии $p^0 = E$

$$(\psi_{FW})_0^{(+)}(\mathbf{r}, t) = U_{FW}^0(\psi_D)_0^{(+)} = \frac{1}{(2\pi)^{3/2}} \begin{pmatrix} U_s \\ 0 \end{pmatrix} e^{-iEt + i\mathbf{p}\mathbf{r}},$$

для отрицательной энергии $p^0 = -E$,

$$(\psi_{FW})_0^{(-)}(\mathbf{r}, t) = U_{FW}^0(\psi_D)_0^{(-)} = \frac{1}{(2\pi)^{3/2}} \begin{pmatrix} 0 \\ U_s \end{pmatrix} e^{iEt - i\mathbf{p}\mathbf{r}}.$$

КЭД в представлении Фолди-Ваутхайзена

В FW-представлении уравнения имеют нековариантный вид, при этом гамильтониан H_{FW} является нелокальным. В этом случае в квантовой теории поля трудно использовать стандартные методы вторичного квантования. Однако можно воспользоваться S-матричным подходом и фейнмановским методом функции распространения. В этом методе процессы КЭД описываются интегральными уравнениями.

Уравнение для четырехмерных x, y можно записать в виде

$$\psi_{FW}(x) = (\psi_{FW})_0^{(\pm)}(x) + \int d^4 y S_{FW}(x-y) K^{FW}(y) \psi_{FW}(y),$$

где $K^{FW}(y) = \sum_{n=1}^{\infty} e^n K_n^{FW}(y)$ - гамильтониан взаимодействия; $S_{FW}(x-y)$ - фейнмановский пропагатор в представлении Фолди-Ваутхайзена

$$S_{FW}(x-y) = \frac{1}{(2\pi)^4} \int d^4 y e^{-ip(x-y)} \frac{p^0 + \beta E}{p^2 - m^2 + i\varepsilon}.$$

Элементы S-матрицы можно записать в виде

$$S_{fi} = \delta_{fi} - i\varepsilon_f \int d^4 y \left[(\bar{\psi}_{FW})_0^{(\pm)}(y) \right]_f K^{FW}(y) \left[\psi_{FW}(y) \right]_i.$$

Здесь черта над функцией ψ_{FW} означает эрмитово сопряжение, $\varepsilon_f = \pm 1$.

КЭД в представлении Фолди-Ваутхайзена

Отметим несколько важных моментов:

- Гамильтонианы H_{FW} и $K^{FW}(y)$ являются диагональными относительно смешивания верхних и нижних компонент биспинора Ψ_{FW} . Каждое из уравнений Дирака включает в себя два независимых уравнения со спинорными волновыми функциями $\sim U_S$. Одно уравнение содержит состояния с положительными энергиями, второе уравнение - состояния с отрицательными энергиями. S -матричные элементы можно вычислять, учитывая лишь состояния с положительными энергиями. В этом случае состояния с отрицательными энергиями не используются в расчетах физических процессов КЭД. Они необходимы лишь для математической полноты в разложениях операторов и волновых функций.
- Важной особенностью теории в случае, когда четырех-импульсы внешних фермионных линий лежат на массовой поверхности $\left((p^0)^2 - \mathbf{p}^2 = m^2 \right)$, является компенсация вклада диаграмм с фермионными пропагаторами и вклада соответствующих слагаемых в беспропагаторных диаграммах, определяемых формулой (12) [1].

[1] В. П. Незнамов, ЭЧАЯ 37, 152 (2006), arxiv: hep-th/0411050.

КЭД в представлении Фолди-Ваутхайзена

- В стандартной КЭД с уравнением Дирака позитроны представляют собой электроны с отрицательными энергиями, движущимися в обратном направлении в пространстве-времени. В представлении Фолди-Ваутхайзена ситуация изменяется. Если в уравнении для элементов S -матрицы слева использовать $\left[\left(\bar{\psi}_{FW} \right)_0^{(+)} \right]_f$, а с правой стороны $-\left[\left(\psi_{FW} \right)_0^{(-)} \right]_i$, то из-за структуры биспиноров и из-за четности гамильтониана взаимодействия $K^{FW}(y)$ во всех порядках теории возмущений мы будем получать нулевые значения соответствующих элементов S -матрицы.

$$\left\langle \frac{1}{(2\pi)^{3/2}} e^{iE_f t - i\mathbf{p}_f \mathbf{r}} \begin{pmatrix} \bar{U}_s & 0 \end{pmatrix} |M| \begin{pmatrix} 0 \\ U_s \end{pmatrix} \frac{1}{(2\pi)^{3/2}} e^{iE_i t - i\mathbf{p}_i \mathbf{r}} \right\rangle = 0!!!$$

четный оператор по определению

Аналогичный результат мы получим, если использовать в указанном уравнении слева $\left[\left(\bar{\psi}_{FW} \right)_0^{(-)} \right]_f$, а с правой стороны $-\left[\left(\psi_{FW} \right)_0^{(+)} \right]_i$.

Таким образом, позитроны в FW-представлении не могут описываться электронными состояниями с отрицательными энергиями. Позитроны в FW-представлении должны описываться состояниями с положительными энергиями специального уравнения для позитронов.

- При описании физических процессов в $(\text{КЭД})_{\text{FW}}$ с участием реальных античастиц обнаружено, что в исходных уравнениях Дирака массовые слагаемые для частиц и античастиц должны иметь противоположные знаки. Это связано с нашим отказом использовать в теории состояния с отрицательными энергиями.

➤ Уравнение Дирака для позитронов имеет вид

$$p^0 \psi_D^C = (\boldsymbol{\alpha}(\mathbf{p} + e\mathbf{A}) - \beta m - eA^0) \psi_D^C.$$

Здесь $\psi_D^C = \beta \Sigma_2 \psi_D^*$, $\Sigma_2 = \begin{pmatrix} \sigma_2 & 0 \\ 0 & \sigma_2 \end{pmatrix}$, ψ_D^* - комплексно сопряженный биспинор.

Это уравнение отличается от уравнения Дирака знаками заряда и слагаемого с βm .

В FW-представлении уравнение имеет вид

$$p^0 \psi_{FW}^C = \left(\beta E - eK_1^{FW}(-m, A^\mu) + e^2 K_2^{FW}(-m, A^\mu, A^\nu) - e^3 K_3^{FW}(-m, A^\mu, A^\nu, A^\gamma) + \dots \right) \psi_{FW}^C.$$

Здесь отсутствуют слагаемые с положительным знаком перед массой m .

В [1] без использования состояний с отрицательными энергиями фермионов развит формализм $(\text{КЭД})_{FW}$ и рассчитан ряд физических эффектов. Конечные результаты расчетов совпадают с результатами в стандартной КЭД.

(КЭД)_{КГ} с уравнением для фермионов типа Клейна-Гордона

Самосопряженные уравнения для электронов и позитронов со спинорными волновыми функциями получены в работах [1], [2]. Эти уравнения имеют вид

$$\left[\left(p^0 - eA^0 \right)^2 - m^2 - \left(p^0 - eA^0 + m \right)^{1/2} \boldsymbol{\sigma}(\mathbf{p} - e\mathbf{A}) \frac{1}{p^0 - eA^0 + m} \boldsymbol{\sigma}(\mathbf{p} - e\mathbf{A}) \left(p^0 - eA^0 + m \right)^{1/2} \right] \Phi = 0,$$
$$\left[\left(p^0 + eA^0 \right)^2 - m^2 - \left(p^0 + eA^0 - m \right)^{1/2} \boldsymbol{\sigma}(\mathbf{p} + e\mathbf{A}) \frac{1}{p^0 + eA^0 - m} \boldsymbol{\sigma}(\mathbf{p} + e\mathbf{A}) \left(p^0 + eA^0 - m \right)^{1/2} \right] \Phi^C = 0.$$

В уравнениях можно провести разложение по степеням заряда e

$$\left[p_0^2 - \mathbf{p}^2 - m^2 \mp eV_1(\pm m, A^\mu) - e^2V_2(\pm m, A^\mu, A^\nu) \mp e^3V_3(\pm m, A^\mu, A^\nu, A^\gamma - \dots) \right] \Phi(\pm m, \mathbf{r}, t) = 0.$$

Здесь верхние знаки перед зарядом и массой соответствуют уравнению для электрона,

нижние знаки соответствуют уравнению для позитрона, $\Phi(+m, \mathbf{r}, t) = \Phi$, $\Phi(-m, \mathbf{r}, t) = \Phi^C$,

$\Phi^C = \sigma_2 \Phi^*$. $\Phi = g_\varphi \varphi(\mathbf{r}, t) U_S$, где $g_\varphi = \left(p^0 - eA^0 + m \right)^{-1/2}$. Алгоритм для определения оператора

взаимодействия $V = eV_1 + e^2V_2 + e^3V_3 + \dots$ приведен в [2].

[1] В. П. Незнамов, И. И. Сафронов, ЖЭТФ **155**, 792 (2019), [arxiv: 1907.03579](https://arxiv.org/abs/1907.03579) (physics. gen-ph, hep-th).

[2] V. P. Neznamov, *Int. J. Mod. Phys. A*, 2150173 (2021), [arxiv: 2110.03530](https://arxiv.org/abs/2110.03530) (physics. gen-ph).

(КЭД)_{КГ} с уравнением для фермионов типа Клейна-Гордона

В свободном случае самосопряженные уравнения для электронов и позитронов становятся уравнениями Клейна-Гордона со спинорными волновыми функциями

$$(p_0^2 - \mathbf{p}^2 - m^2)\Phi_0(\mathbf{r}, t) = 0, \quad (p_0^2 - \mathbf{p}^2 - m^2)\Phi_0^C(\mathbf{r}, t) = 0.$$

Ортонормированные решения этих уравнений имеют вид

$$\Phi_0^{(\pm)}(\mathbf{r}, t) = \frac{1}{(2\pi)^{3/2}} \frac{1}{\sqrt{2E}} e^{i(\mathbf{p}\cdot\mathbf{r} - Et)} u_{\mathbf{p}}^{(\pm)}, \quad \Phi_0^C(\mathbf{r}, t) = \frac{1}{(2\pi)^{3/2}} \frac{1}{\sqrt{2E}} e^{i(\mathbf{p}\cdot\mathbf{r} - Et)} v_{\mathbf{p}}.$$

В работе [1] по аналогии с (КЭД)_{ФВ} развит формализм (КЭД)_{КГ} и рассчитан ряд физических эффектов. Как и в ФВ-представлении, конечные результаты расчетов совпадают с результатами в стандартной КЭД.

В (КЭД)_{КГ} в расчетах не используются реальные и виртуальные состояния с отрицательными энергиями самосопряженных уравнений для электронов и позитронов. В уравнениях массовые слагаемые для частиц и античастиц имеют противоположные знаки.

[1] V. P. Neznamov, *Int. J. Mod. Phys. A*, 2150173 (2021), *arxiv: 2110.03530 (physics. gen-ph)*.

Стандартная КЭД без моря Дирака и с противоположными знаками перед массами частиц и античастиц

В стандартной КЭД используется уравнение Дирака с биспинорной волновой функцией.

В данном разделе мы отвечаем на вопрос: возможно ли развить формализм КЭД с уравнениями Дирака с противоположными знаками перед зарядами и массами частиц и античастиц и с использованием только положительных энергий для реальных и виртуальных фермионных состояний.

Как известно, унитарные преобразования гамильтонианов и волновых функций в квантовой теории сохраняют все физические характеристики, присущие рассматриваемым объектам исследований. Однако при переходе от представления Дирака к представлению Фолди-Ваутхайзена мы сталкиваемся с другой физической картиной.

Стандартная КЭД без моря Дирака и с противоположными знаками перед массами частиц и античастиц

В представлении Дирака в квантовой теории существует связь между решениями с положительной и отрицательной энергиями фермионов. В представлении Фолди-Ваутхайзена такая связь отсутствует.

Очевидно, в представлении Дирака существует лишняя нефизическая информация, которая используется в формализме стандартной КЭД. Эта информация связана с отрицательными энергиями фермионов. Для восстановления паритета с представлением Фолди-Ваутхайзена мы должны отказаться от использования в физических целях решений с отрицательными энергиями фермионов в стандартной КЭД. Решения с отрицательной энергией необходимы лишь для математической полноты в разложениях операторов и волновых функций.

Стандартная КЭД без моря Дирака и с противоположными знаками перед массами частиц и античастиц

Итак, в обновленной КЭД с уравнением Дирака и с биспинорной волновой функцией $(\text{КЭД})_{\text{DN}}$ мы будем использовать два отдельных уравнения для электронов и позитронов. Эти уравнения отличаются друг от друга знаком электрического заряда и знаками перед слагаемыми с массами электрона и позитрона.

Вторым изменением правил Фейнмана является использование двух отдельных запаздывающих пропагаторов для распространения виртуальных электронов и позитронов. В расчетах с участием запаздывающих функций Грина должны учитываться только положительно-частотные полюса.

Стандартная КЭД без моря Дирака и с противоположными знаками перед массами частиц и античастиц

В итоге в $(\text{КЭД})_{\text{DN}}$ при вычислении физических эффектов достаточно использования решений с положительными энергиями фермионов. Это относится как к реальным, так и к виртуальным промежуточным фермионным состояниям.

В обновленной $(\text{КЭД})_{\text{DN}}$ фермионный вакуум является пустым, в теории отсутствуют процессы с виртуальным рождением и аннигиляцией частиц и античастиц.

Результаты вычисленных электродинамических явлений в обновленной КЭД совпадают с результатами в стандартной (КЭД), а также с версиями $(\text{КЭД})_{\text{FW}}$ и $(\text{КЭД})_{\text{KG}}$.

Возможности экспериментальной проверки состояния фермионного вакуума в КЭД

В стандартной КЭД фермионный вакуум является непустым. В нем присутствуют процессы рождения и аннигиляции виртуальных электрон-позитронных пар. В сильных электромагнитных полях возможно вакуумное рождение реальных электрон-позитронных пар. Известным примером является эффект Швингера: вакуумное рождение реальных пар в сильном однородном электрическом поле.

В вариантах КЭД без использования фермионных состояний с отрицательными энергиями фермионный вакуум является пустым. В нем отсутствует возможность вакуумного рождения реальных и виртуальных пар.

Прямым ответом на вопрос о содержании фермионного вакуума является экспериментальное подтверждение существования (или отсутствия) эффекта Швингера. Интенсивность критического поля Швингера равна $\sim 5 \cdot 10^{29}$ Вт/см².

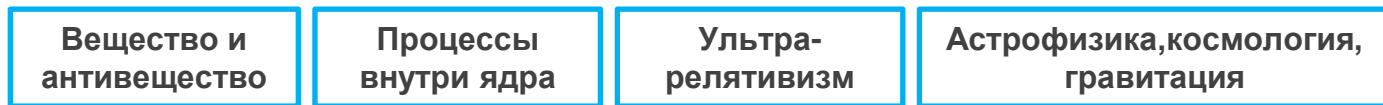
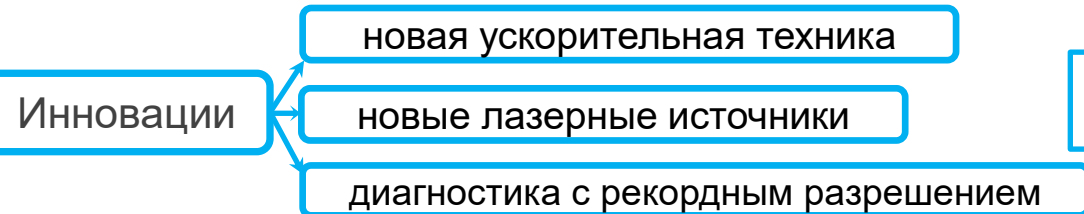
Возможности экспериментальной проверки состояния фермионного вакуума в КЭД

Для достижения в экспериментах такой чрезвычайно высокой интенсивности просматриваются две возможности:

- ❑ Разработка оптических лазеров эксаваттной мощности (см., например, проект XCELS).
На установке XCELS предполагается достижение интенсивности лазерного поля $\sim 10^{24} \div 10^{25}$ Вт/см². Расчетами показано, что в случае использования единственного сфокусированного лазерного импульса необходимая интенсивность критического поля для производства электрон-позитронных пар уменьшается до $I = 10^{28}$ Вт/см². При столкновении двух и более сфокусированных лазерных импульсов интенсивность порогового критического поля уменьшается до $I = 10^{25} \div 10^{26}$ Вт/см².

Центр исследований экстремальных световых полей на базе лазера с экзаваттным уровнем мощности (XCELS)

- 200 ПВт, 25 фс, фазировка 10^{-15} с
- Усиление: многокаскадное параметрическое
 - Апертура 40×40 см
- Накачка: дисковый усилитель (прототип модуль УФЛ-2М)



Полная мощность установки более чем на порядок превышает сегодняшний мировой рекорд

www.rosatom.ru

Возможности экспериментальной проверки состояния фермионного вакуума в КЭД

- Эксперименты по столкновениям тяжелых ионов с суммарным $Z > 170 \div 175$. Такие эксперименты проводились на установках GSI (Дармштадт, Германия) и Аргоннской национальной лаборатории (США) в 70-х – 80-х годах прошлого века. Однако они так и не привели к однозначному выводу о возможности вакуумного рождения пар в сверхкритических полях. Новые эксперименты, посвященные этой тематике, можно провести на строящихся в настоящее время ускорительных центрах FAIR (Дармштадт, Германия), HIAF (Китай), NICA (Дубна, Россия).

Заключение

Рассмотрена версия $(\text{КЭД})_{\text{DN}}$ с противоположными знаками перед зарядами и массами частиц и античастиц в уравнениях Дирака и с пустым фермионным вакуумом без «моря» состояний с отрицательными энергиями. Версия $(\text{КЭД})_{\text{DN}}$ с уравнениями Дирака и с биспинорными волновыми функциями по идеологии согласуется с ранее разработанными автором версиями $(\text{КЭД})_{\text{FW}}$ в представлении Фолди-Ваутхайзена и $(\text{КЭД})_{\text{KG}}$ со спинорными уравнениями для электронов и позитронов типа Клейна-Гордона.

Во всех версиях в реальных и виртуальных промежуточных состояниях используются только состояния с положительными энергиями.

Главными отличиями обновленной $(\text{КЭД})_{\text{DN}}$ по сравнению со стандартной КЭД являются использование двух отдельных уравнений Дирака для электронов и позитронов и отдельных запаздывающих электронных и позитронных пропагаторов без учета отрицательно-частотных полюсов. Это приводит к небольшому изменению правил Фейнмана.

Рассмотренные версии КЭД тестированы вычислениями физических процессов.

В низайшем порядке теории возмущений вычислены сечения кулоновского рассеяния электрона, рассеяния электрона на протоне, комптон-эффекта, аннигиляции электрон-позитронной пары. Вычислены собственная энергия электрона, собственная энергия фотона, аномальный магнитный момент электрона, лэмбовский сдвиг энергетических уровней. Конечные результаты полностью совпадают с результатами стандартной КЭД с морем Дирака.

Заключение

В обсуждаемых версиях КЭД новое состояние фермионного вакуума приводит к новым физическим следствиям.

1. В этих версиях КЭД отсутствует «дрожание» (Zitterbewegung) координат фермионов. Этот факт, связанный с отсутствием виртуального взаимодействия между состояниями фермионов с положительными и отрицательными энергиями, был отмечен еще в первой статье Фолди-Ваутхайзена.
2. По тем же причинам в этих версиях КЭД отсутствует парадокс Клейна.
3. В обсуждаемых версиях КЭД отсутствуют процессы вакуумного рождения пар «частица-античастица» в сильных электромагнитных полях. В частности, отсутствует эффект Швингера – вакуумное рождение пар в сильном однородном электрическом поле.

Вывод пункта 3 в перспективе может быть проверен экспериментально. Интенсивность критического поля, необходимого для вакуумного рождения пар, может быть достигнута как в установках с оптическими лазерами эксаваттной мощности $Z \geq 170 \div 175$, так и в экспериментах по столкновению тяжелых ионов с суммарным на строящихся ускорительных центрах FAIR, NIAF, NICA.

Спасибо за внимание

Описание в (КЭД)_{DN} некоторых эффектов квантовой электродинамики

Ниже мы будем использовать формулы с обозначениями, принятыми в Стандартной модели (см., например, [1])

$$\hat{p} = \gamma_\mu p^\mu, \quad \gamma_\mu = \gamma_0 \alpha_\mu, \quad \gamma_0 = \beta.$$

Если $(\psi_D)_0^{(+)}(x) = \sqrt{\frac{m}{E(2\pi)^3}} u^e(p, s, m) e^{-ipx}$, то свободное уравнение Дирака для электрона имеет вид

$$(\hat{p} - m)u^e(p, s, m) = 0.$$

Аналогично, если $(\psi_D^c)_0^{(+)} = \sqrt{\frac{m}{E(2\pi)^3}} u^p(p, s, -m) e^{-ipx}$, то свободное уравнение Дирака для позитрона имеет вид

$$(\hat{p} + m)u^p(p, s, -m) = 0.$$

Описание в (КЭД)_{DN} некоторых эффектов квантовой электродинамики

Запаздывающие пропагаторы для электрона и позитрона равны, соответственно

$$\frac{i}{\hat{p} \pm m + i\varepsilon}.$$

Условия полноты для $u^e(p, s, m)$ и $u^p(p, s, -m)$ равны

$$\sum_{\pm s} u_{\beta}^e(p, s, m) \bar{u}_{\lambda}^e(p, s, m) = \left(\frac{\hat{p} + m}{2m} \right)_{\beta\lambda},$$

$$\sum_{\pm s} u_{\beta}^p(p, s, -m) \bar{u}_{\lambda}^p(p, s, -m) = \left(\frac{\hat{p} - m}{2m} \right)_{\beta\lambda}.$$

Здесь и далее черта над функцией означает ее эрмитово сопряжение с последующим умножением на матрицу γ^0 .

Описание в (КЭД)_{DN} некоторых эффектов квантовой электродинамики

- Комптоновское рассеяние фотонов на электронах (позитронах).

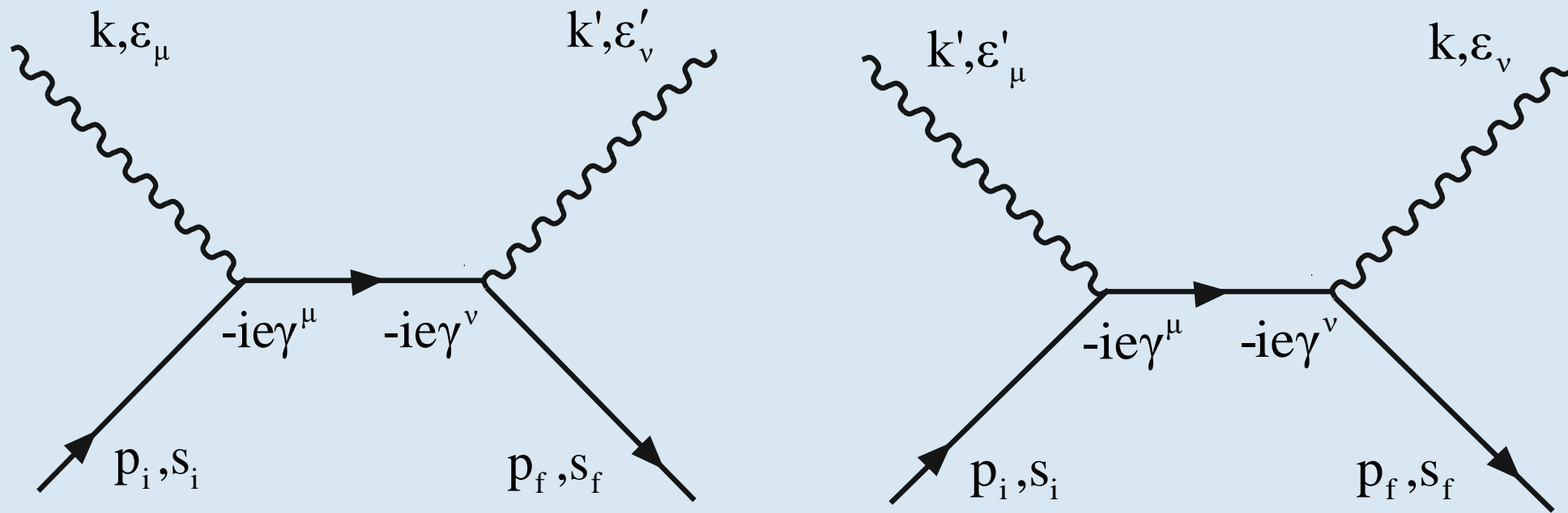


Рис. 1. Диаграммы Фейнмана второго порядка теории возмущений.

На рисунке p_i, p_f, s_i, s_f либо четырехимпульсы и спины электрона, либо четырехимпульсы и спины позитрона $k, \epsilon, k', \epsilon'$ - импульсы и поляризации поглощаемых и испускаемых фотонов.

Описание в (КЭД)_{DN} некоторых эффектов квантовой электродинамики

Матричный элемент S-матрицы равен

$$S_{fi}^{\text{компт}} = \frac{e^2}{V^2} \sqrt{\frac{m^2}{E_f E_i}} \frac{1}{\sqrt{2k 2k'}} (2\pi)^4 \delta^4(p_f + k' - p_i - k) \bar{u}(p_f, s_f, \pm m) \times \\ \times \left[(-i\hat{\varepsilon}') \frac{i}{\hat{p}_i + \hat{k}_+ \mp m} (-i\hat{\varepsilon}) + (-i\hat{\varepsilon}) \frac{i}{\hat{p}_i - \hat{k}_+ \mp m} (-i\hat{\varepsilon}') \right] u(p_i, s_i, \pm m).$$

Сечение для неполяризованного электрона или позитрона равно (см, например, [1])

$$\frac{d\sigma}{d\Omega} = \frac{1}{2} \sum_{\pm s_i, s_f} \frac{d\sigma}{d\Omega} = \frac{a^2}{2} \left(\frac{k'}{k} \right)^2 \text{Sp} \frac{\hat{p}_f \pm m}{2m} \left(\frac{\hat{\varepsilon}' \hat{\varepsilon} k}{2k p_i} + \frac{\hat{\varepsilon} \hat{\varepsilon}' k'}{2k' p_i} \right) \frac{\hat{p}_i \pm m}{2m} \left(\frac{k \hat{\varepsilon} \hat{\varepsilon}'}{2k p_i} + \frac{k' \hat{\varepsilon}' \hat{\varepsilon}}{2k' p_i} \right).$$

Здесь верхний знак перед массой m должен использоваться в расчетах сечения рассеяния фотона на электроне, нижний знак – в расчетах сечения рассеяния фотона на позитроне.

Оба сечения равны и совпадают с сечениями, рассчитанными в стандартной КЭД.

Описание в (КЭД)_{DN} некоторых эффектов квантовой электродинамики

□ Аннигиляция электрон-позитронной пары

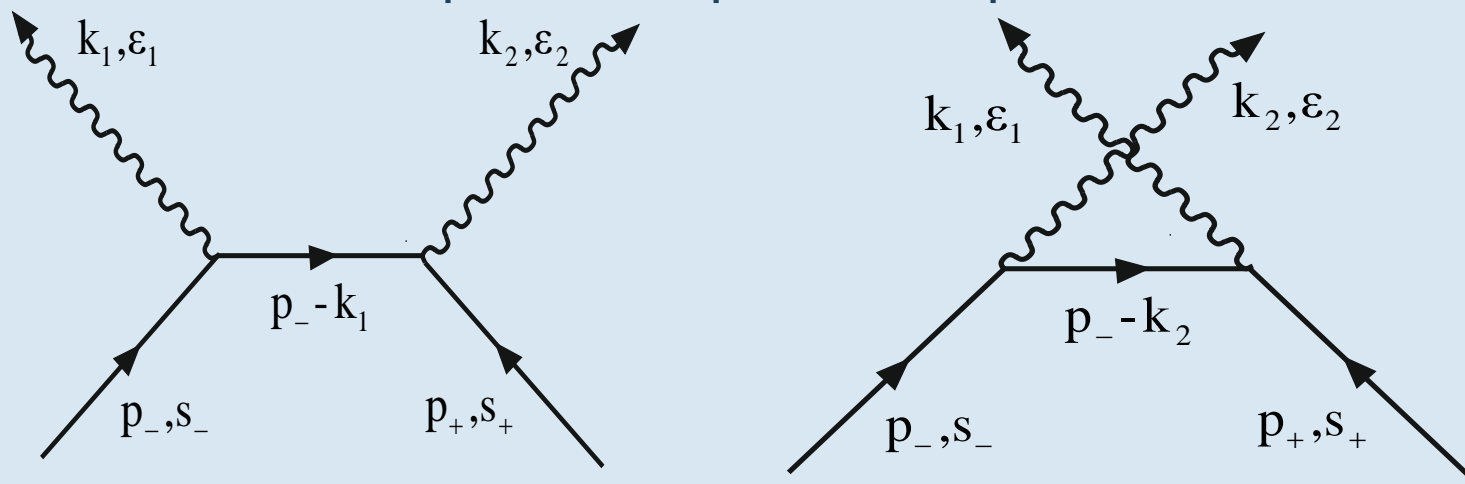


Рис.2. Диаграммы Фейнмана второго порядка теории возмущений.

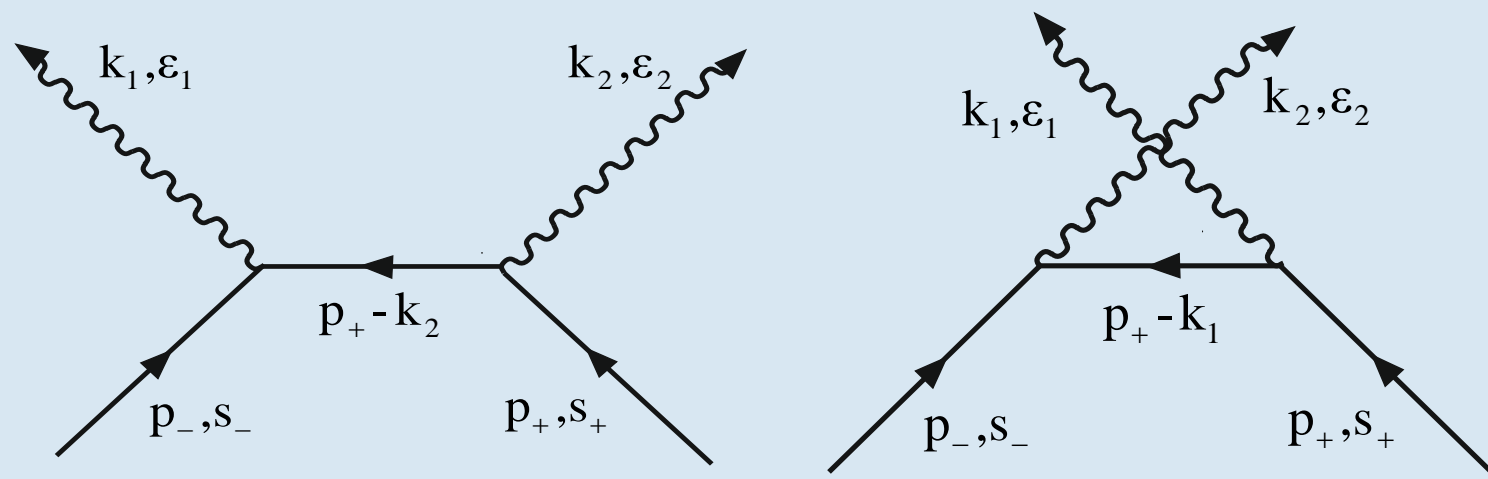


Рис. 3. Диаграммы Фейнмана второго порядка теории возмущений.

Описание в (КЭД)_{DN} некоторых эффектов квантовой электродинамики

На рис. 2 подразумевается использование электронных пропагаторов $i/(\hat{p}_- - \hat{k}_1 - m + i\varepsilon)$, $i/(\hat{p}_- - \hat{k}_2 - m + i\varepsilon)$, на рис.3 подразумевается использование позитронных пропагаторов $i/(\hat{p}_+ - \hat{k}_2 + m + i\varepsilon)$, $i/(\hat{p}_+ - \hat{k}_1 + m + i\varepsilon)$.

Диаграммы рис. 2 и 3 эквивалентны друг другу, т.к. они совпадают при $p_+ \leftrightarrow p_-$, $s_+ \leftrightarrow s_-$, $+m \leftrightarrow -m$. При вычислениях сечения аннигиляции можно использовать либо диаграммы рис. 2, либо диаграммы рис. 3.

По аналогии со стандартной КЭД (см., например, [1]) дифференциальное сечение аннигиляции, соответствующее, например, диаграммам рис. 2, равно

$$d\sigma = \frac{e^4}{(2\pi)^2} \int \frac{m}{E_+ \beta_+} \frac{1}{4} \text{Sp} \frac{\hat{p}_+ - m}{2m} \left(\frac{\hat{\varepsilon}_2 \hat{k}_1 \hat{\varepsilon}_1}{2p_- k_1} + \frac{\hat{\varepsilon}_1 \hat{k}_2 \hat{\varepsilon}_2}{2p_- k_2} \right) \frac{\hat{p}_- + m}{2m} \left(\frac{\hat{\varepsilon}_1 \hat{k}_1 \hat{\varepsilon}_2}{2p_- k_1} + \frac{\hat{\varepsilon}_2 \hat{k}_2 \hat{\varepsilon}_1}{2p_- k_2} \right) \frac{d^3 k_1}{2k_1} \frac{d^3 k_2}{2k_2} \delta^4(k_1 + k_2 - p_- - p_+).$$

Это выражение приведено для случая неполяризованного позитрона, сталкивающегося с покоящимся в лабораторной системе неполяризованным электроном. Оно полностью совпадает с аналогичным выражением в стандартной КЭД.

Возможности экспериментальной проверки состояния фермионного вакуума в КЭД

□ Собственная энергия электрона и позитрона

На рис. 4 p - импульс электрона (позитрона). При вычислениях используется либо запаздывающий электронный пропагатор, либо запаздывающий позитронный пропагатор.

Оператор собственной энергии во втором порядке теории возмущений равен

$$M(p) = -\frac{8\pi i}{(2\pi)^4} e^2 \int \frac{\pm 2m - \hat{p} + \hat{k}}{(p-k)^2 - m^2} \frac{d^4 k}{k^2}.$$

Здесь верхний знак перед массой соответствует собственной энергии электрона, нижний знак – собственной энергии позитрона. В итоге после вычислений оба выражения совпадают друг с другом и с выражениями для собственных энергий электрона и позитрона, вычисленными в стандартной КЭД.

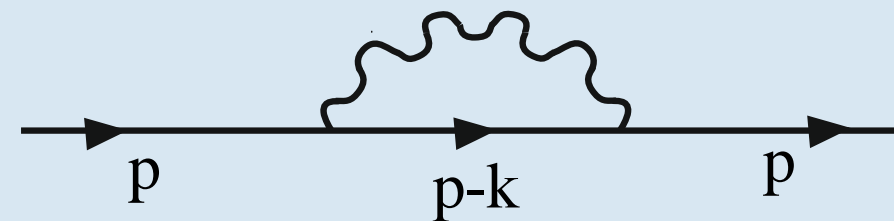


Рис. 4. Диаграмма Фейнмана второго порядка теории возмущений.

Возможности экспериментальной проверки состояния фермионного вакуума в КЭД

□ Собственно-энергетическая функция фотона

Во втором порядке теории возмущений фотонный пропагатор можно записать в виде

$$-iD_{\alpha\beta} = \frac{(-i)g_{\alpha\beta}}{k^2} + \frac{(-i)g_{\alpha\mu}}{k^2} i\Pi_{\mu\nu} \frac{(-i)g_{\nu\beta}}{k^2}.$$

Тензор $\Pi_{\mu\nu}(k)$ равен

$$\Pi_{\mu\nu}(k) = -(-ie)^2 \int \frac{d^4 p}{(2\pi)^4} \text{Sp} \left(\gamma^\mu \frac{i}{\hat{p} - m + i\varepsilon} \gamma^\nu \frac{i}{\hat{p} - \hat{k} - m + i\varepsilon} + \gamma^\mu \frac{i}{\hat{p} + m + i\varepsilon} \gamma^\nu \frac{i}{\hat{p} - \hat{k} + m + i\varepsilon} \right).$$

Тензор $\Pi_{\mu\nu}(k)$ в конечных выражениях совпадает с соответствующим тензором в стандартной КЭД.

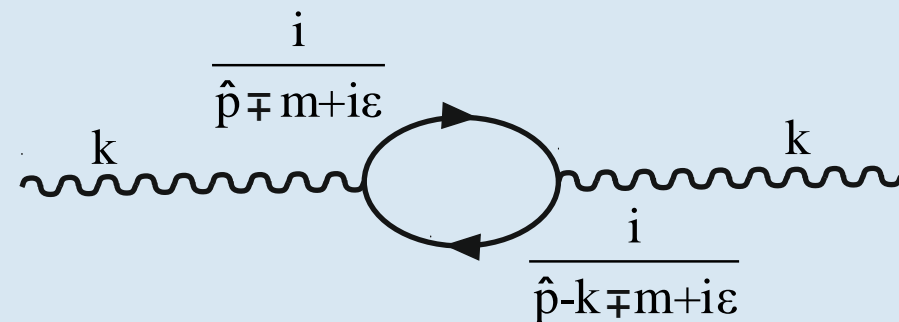


Рис. 5. Диаграммы Фейнмана второго порядка теории возмущений

Описание в $(КЭД)_{DN}$ некоторых эффектов квантовой электродинамики

Нелинейные поправки в уравнениях электромагнитного поля в стандартной КЭД приводят к ряду специфических эффектов таких как рассеяние света на свете, рассеяние фотонов во внешнем кулоновском поле (рассеяние Дельбрука), расщепление (слияние) фотонов в магнитных полях. В низжайших порядках теории возмущений эти эффекты описываются в стандартной КЭД диаграммами с замкнутыми фермионными петлями, содержащими конечное число фейнмановских электрон-позитронных пропагаторов. В этом случае пропагаторы содержат полюса с положительной и отрицательной энергиями электронов.

В обновленной $(КЭД)_{DN}$ обсуждаемые физические эффекты в низжайших порядках теории возмущений будут описываться суммой диаграмм с замкнутыми фермионными петлями двух типов. Первый тип содержит запаздывающие электронные пропагаторы, второй тип – запаздывающие позитронные пропагаторы. В этих пропагаторах учитываются только полюса с положительной энергией. Позитронные пропагаторы отличаются от электронных знаком перед слагаемым с массой m . Поскольку во всех рассматриваемых эффектах конечные выражения не зависят от знака перед массой m , то в расчетах обновленной $(КЭД)_{DN}$ мы будем получать одинаковые со стандартной КЭД результаты.

Изменение правил Фейнмана

1. В расчетах используются уравнения Дирака для электрона

$$\left(\hat{p} - e\hat{A} - m\right)\psi_D^e(x) = 0$$

и уравнение Дирака для позитрона

$$\left(\hat{p} + e\hat{A} + m\right)\psi_D^p(x) = 0.$$

В свободном случае в уравнениях выше используются только решения с положительными энергиями.

2. Каждой электронной вершине соответствует множитель $(-ie\gamma^\mu)$, каждой позитронной вершине – множитель $(+ie\gamma^\mu)$.

3. Для электрона и позитрона используются запаздывающие пропагаторы. В импульсном представлении они равны

$$\frac{i}{\hat{p}_e - m + i\varepsilon} = \frac{i(\hat{p}_e + m)}{p_e^2 - m^2 + i\varepsilon}, \quad \frac{i}{\hat{p}_p + m + i\varepsilon} = \frac{i(\hat{p}_p - m)}{p_p^2 - m^2 + i\varepsilon}.$$

Изменение правил Фейнмана

4. Из n -эквивалентных диаграмм, описывающих процессы рождения или аннигиляции реальных электрон-позитронных пар, в расчетах достаточно использовать какую-либо одну диаграмму. Здесь n – число вершин в исследуемой диаграмме.

5. Для описания физических процессов с фермионными петлями необходимо использовать сумму диаграмм с электронными и позитронными петлями. В диаграммах с электронными петлями используются только запаздывающие электронные пропагаторы; в диаграммах с позитронными петлями используются только запаздывающие позитронные пропагаторы.